

# 얇은 layer 가 존재하는 접촉표면의 열적 거동에 대한 연구

한국과학기술원  
기계윤활연구실  
안효석

## 1. 서 론

상대 접촉하고 있는 물체에 미끄럼 운동이 가해질 경우 마찰에 의해 발생되는 거의 모든 에너지는 열로써 나타나게 된다. 이러한 마찰열은 주로 adhered junctions 의 파괴 및 표면돌기 (surface asperities) 들의 소성 빈멍에 의한 열역학적 비가의 반응의 결과로 발생된다.

접촉부위의 발생열은 양 접촉체의 접촉면에 전달되어 접촉표면 온도의 급격한 증가를 초래하며 그 결과로 여러가지 surface phenomena, 즉 마찰, 마모, 산화 (oxidation), 부식 및 구조적 열화 (structural degradation) 금속학적 상변화등에 큰 영향을 미치게 된다. 따라서 볼 및 로울링 엘레먼트 베어링, 기어, 캠과 태핏, 브레이크등 기계요소의 설계를 위한 주인자로서 근래에 들어 접촉표면의 온도가 주목받고 있다[1,2,3].

표면에 존재하는 layer 가 표면온도에 미치는 영향은 매우 큰 것으로 알려져 있다. layer로서는 금속표면에 응착시킨 coating layers, contaminant films, physisorbed 또는 chemisorbed films, oxide layers 또는 마찰열에 의해 형성되는 경도가 아주 높은 내마모층 (hard wear-resistant layers) 등이 고려될 수 있다.

낮은 열전도성을 가진 oxide film이 접촉 표면의 온도를 증가시킨다는 것이 Jaeger[2]에 의해 지적되었으며 Ling과 Lai[4]는 moving heat source가 가해지는 layered surface의 표면온도분포를 구하면서 substrate와 thermal property가 다른 layer가 존재하게 되면 그 두께가 아주 얇더라도 (1 마이크론 정도) 표면온도는 크게 변화됨을 보였다.

본 연구에서는 유한차분법 (Finite Difference Method)을 이용하여 fast moving heat source가 작용하는 layered solid의 접촉표면의 온도뿐만 아니라 subsurface의 온도변화를 조사하였고 layer의 두께, 접촉하중, 미끄럼 속도와 마찰계수의 변화가 접촉표면 및 그 주변의 온도형성에 미치는 영향을 알아보았다. 또한 실제 기계요소의 경우와 같이 접촉이 주기적으로 되풀이 되는 경우에 대하여 연구하였다.

## 2. 이 론

### 2.1 해석 모델

Fig.1에서 보는바와 같이 cylinder 형의 solid 1 이 하중 P, 속도 V로 semi-infinite layered solid 2와 미끄럼 접촉운동을 할때, 접촉압력 분포  $P(x)$ 와 heat flux 분포  $q(x)$ 는 다음과 같다.

$$p(x) = P_0 [ 1 - (x/a)^{\frac{1}{2}} ] \quad (1)$$

$$q(x) = \lambda f p(x) V \quad (2)$$

fast moving body 1 으로 흡수되는 열량을 나타내는 heat partition 계수  $\lambda$  는 [1]

$$\lambda = ( 0.146 + A ) / ( 1+A ) \quad (3)$$

여기에서

$$A = ( Va/8D )^{\frac{1}{2}} \cdot ( k_1/k_2 )$$

$$D = k_1 / \rho_1 C_1 : \text{thermal diffusivity}$$

layer와 substrate의 물성 ( material properties ) 이 온도변화에 무관하다고 가정하면 fast moving heat source가 작용하는, layer와 substrate에 관련한 heat equation은

$$\frac{\partial^2 T_f}{\partial z^2} = \frac{1}{D_f} \frac{\partial T_f}{\partial t} \quad (4)$$

$$\frac{\partial^2 T_s}{\partial z^2} = \frac{1}{D_s} \frac{\partial T_s}{\partial t} \quad (5)$$

여기에서 subscript s, f는 각각 substrate와 layer (film)을 표시한다.

상기 방정식은 다음과 같은 경계조건 및 초기조건을 만족시켜야 한다.

### 1) 표면의 에너지 balance

$$\text{접촉 부위 : } k \frac{\partial T}{\partial z}(0, t) = -q(t) \quad (6.a)$$

$$\text{접촉외부분 : } k \frac{\partial T}{\partial z}(0, t) = h_t \Delta T \quad (6.b)$$

여기에서  $q(t) = q_0 [ a^2 - (tV-a)^2 ]^{1/2} / a$  ( see Fig.2 )

$h$  = heat transfer coefficient

### 2) layer-substrate interface 의 에너지 balance 및 연속성

$$k_f \frac{\partial T}{\partial z} + k_s \frac{\partial T}{\partial z} = \frac{\Delta z}{2} (\rho_f c_f + \rho_s c_s) \frac{\partial T}{\partial t} \quad (6.c)$$

### 3) regularity condition

$$T(z_b, t) = T_b \quad \text{—— bulk temperature} \quad (6.d)$$

### 4) 초기 조건

$$T(z, 0) = T_b \quad (6.e)$$

상기 방정식의 경계조건 및 초기조건을 만족시키는 모델은 Fig.3 과 같다.

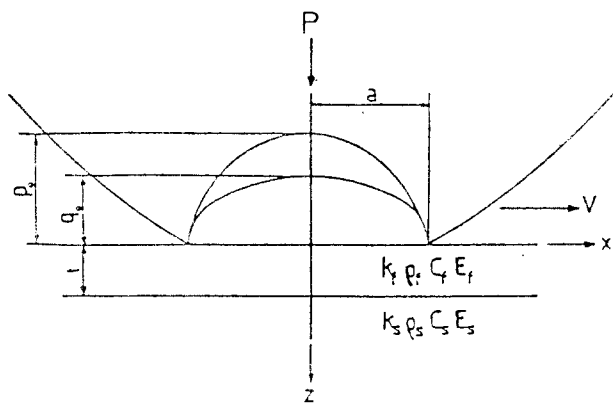


Fig. 1 General configuration for a layered solid under semi-elliptically distributed moving heat source and contact pressure

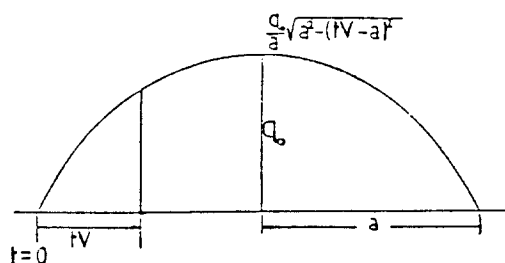


Fig. 2 Semi-elliptical distribution of heat flux on the contact surface

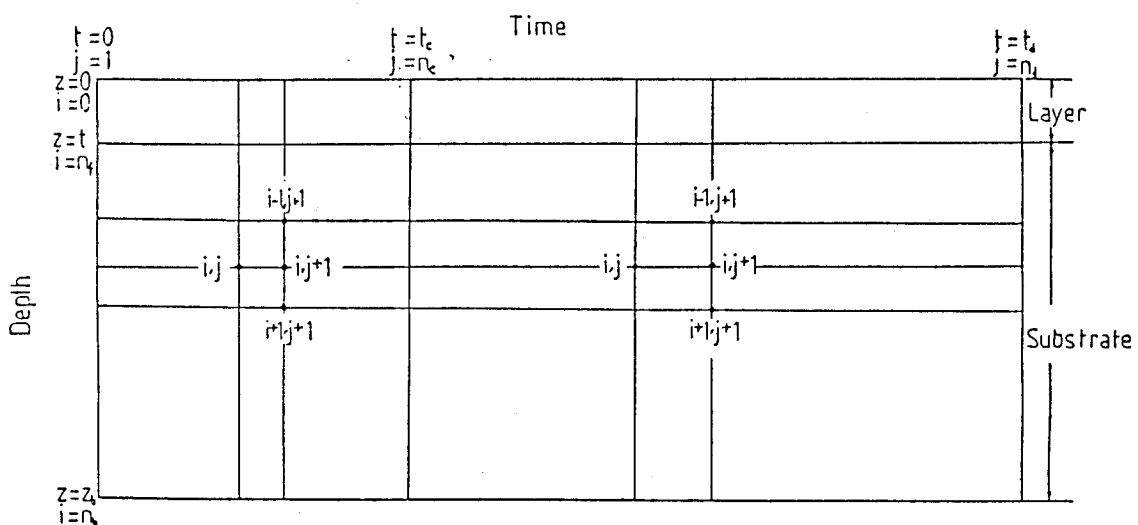


Fig. 3 Depth/time grid for the finite-difference model

### 3. 결과 및 고찰

#### 3.1 Meta-stable temperature의 형성

meta-stable temperature의 형성은 주로 접촉간총거리, 가해진 heat input, 접촉간 소요시간, thermal property에 의해 좌우된다. 이중 미끄림속도의 변화 및 접촉간총거리의 변화와 열전도의 변화에 따른 meta-stable temperature가 형성될 때까지 소요되는 접촉횟수를 조사한 결과를 Fig.4에서 볼 수 있다. 열전도도가 낮아짐에 따라 소요되는 접촉횟수가 크게 증가되고 있음을 알 수 있으며 접촉간총거리가 아주 작을 경우 접촉횟수 또한 크게 증가하고 있음을 볼 수 있다. Fig.5는 접촉면에 수직한 방향으로의 접촉횟수에 따른 온도변화를 보여준다. 여기에서 주목할만한 사실은 접촉에 의한 온도상승이 처음 접촉이 발생할 때에 거의 형성이 되고 있으며 또한 온도상승이 극히 얇은 subsurface 내에 국한되고 있다는 사실이다.

#### 3.2 Fast moving heat source에 의한 layered solid의 온도증가는 크게 두가지 경우로 나누어 조사하였다.

- 1) Substrate에 비해 열 전도도가 작은 경우

$$k_f/k_s = 1/4, k_s = 40 \text{ W/m}^{\circ}\text{C}$$

- 2) Substrate에 비해 열 전도도가 큰 경우

$$k_f/k_s = 5, k_s = 40 \text{ W/m}^{\circ}\text{C}$$

미끄림속도와 접촉하중은 직접적으로 heat input의 형성에 관계되므로 표면최대온도상승에 미치는 그 영향을 먼저 알아보았다. Fig.6에서 보는 바와 같이 속도와 하중의 증가는 layer의 thermal property에 관계없이 거의 선형적인 온도증가를 초래함을 알 수 있다. Substrate에 비해 열전도도가 작은 layer의 경우와 열전도도가 큰 layer의 경우에 대한

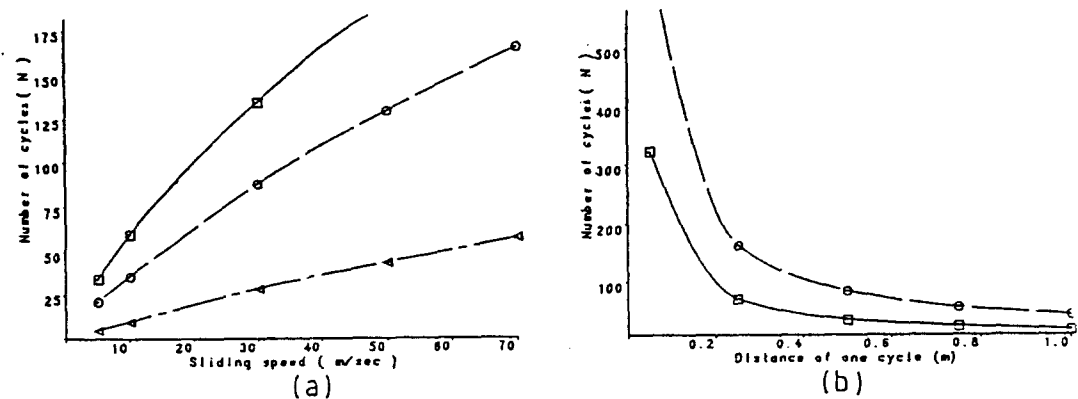


Fig. 4 Number of cycles to reach the meta-stable surface temperature, (a) for various thermal conductivity and sliding speed and (b) for various distance of one cycle

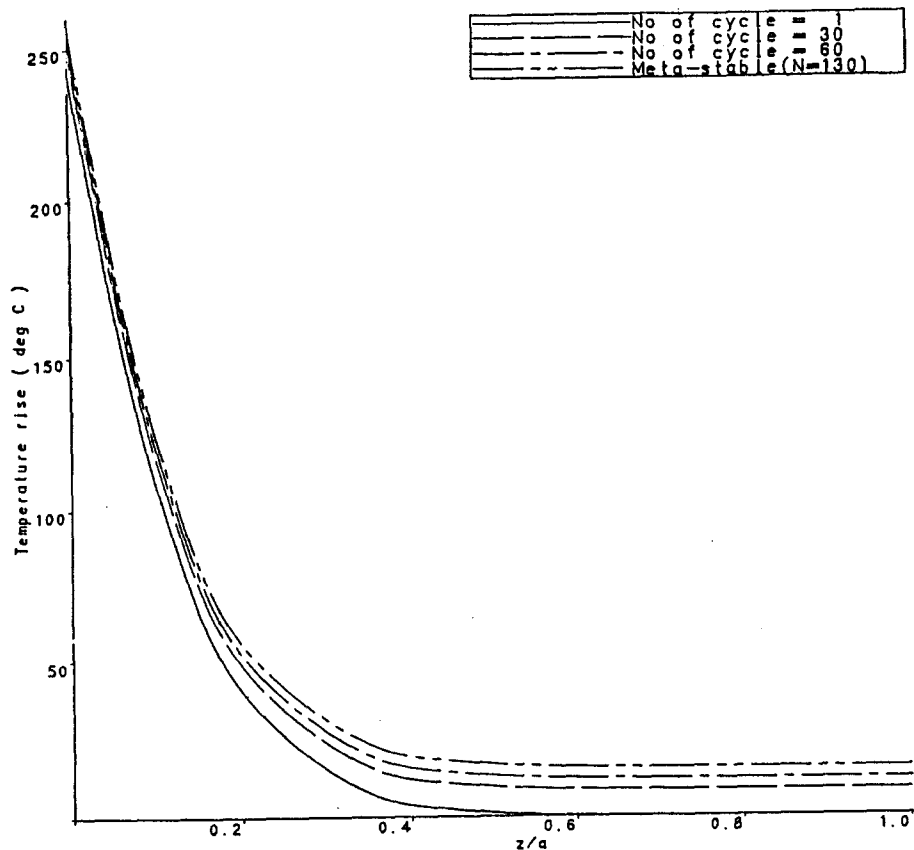
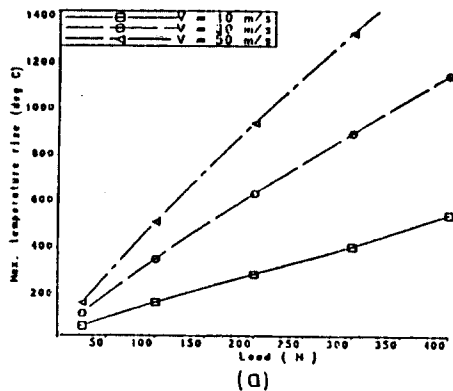
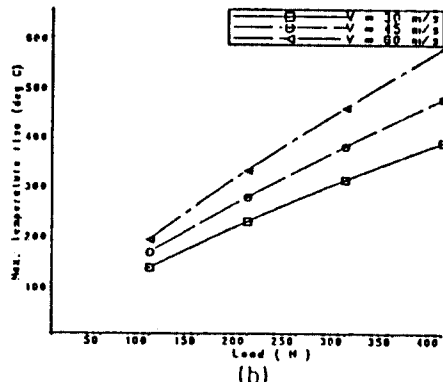


Fig. 5 Development of temperature perpendicular to contact surface until surface temperature reaches meta-stable state.



(a)



(b)

Fig. 6 Maximum temperature rise in the surface of a layered solid for various speed and load.  
 (a)  $K_f/K_s = 1/4$ , (b)  $K_f/K_s = 5$  ( $K_s = 40 \text{ W/m}^\circ\text{C}$ )

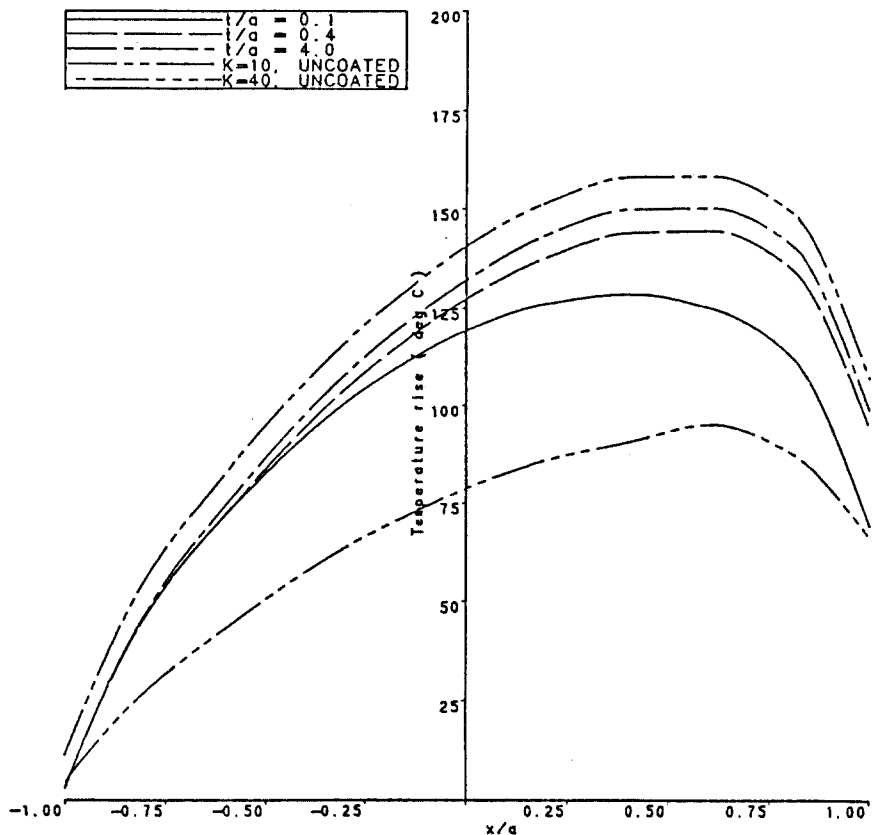


Fig. 7 Meta-stable surface temperature rise distribution at the heating zone along the direction of sliding for less conductive layer than the substrate. ( $K_f/K_s = 1/4$ ,  $D_f/D_s = 1/4$ ,  $K_s = 40 \text{ W/m}^\circ\text{C}$ )

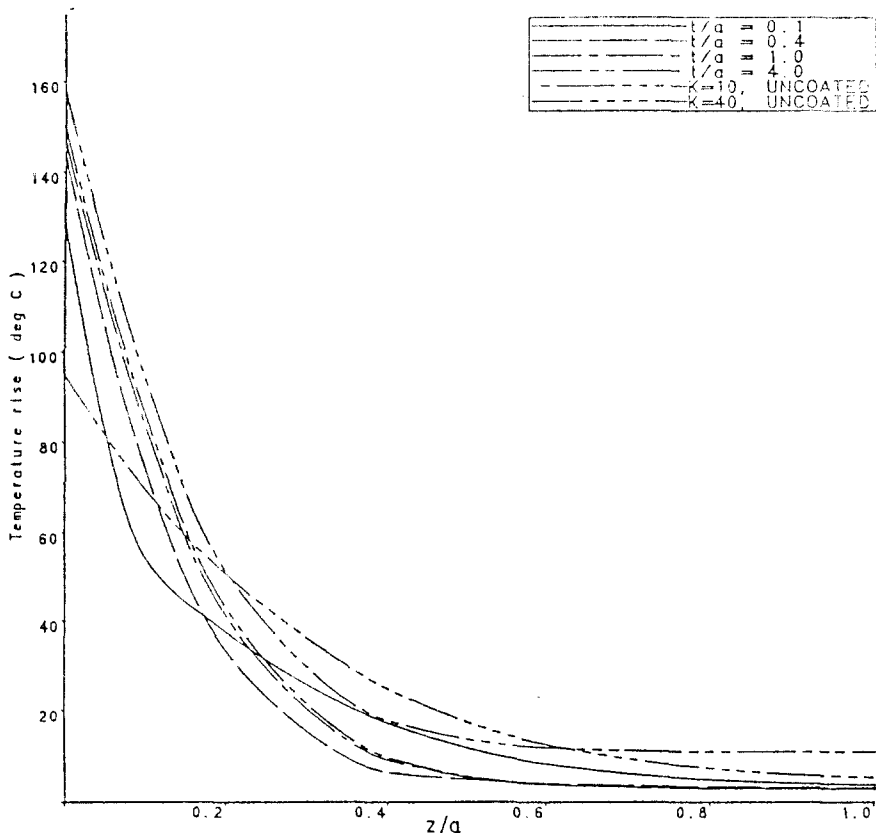


Fig. 8 Temperature distribution perpendicular to contact surface at position where maximum temperature is achieved for less conductive layer. ( $K_f/K_s=1/4$ ,  $D_f/D_s=1/4$ ,  $K_s=40 \text{ W/m}^{\circ}\text{C}$ )

결과를 각각 Fig.7 - Fig.11 과 Fig.12 - Fig.14 에서 볼 수 있다.

Fig.7은 layer의 두께를 변화시켜가며 이에따른 표면의 미끄럼 운동 방향의 온도상승치를 알아본 것으로 일단 layer가 존재할 경우 비록 그 두께가 아주 얕더라도 표면온도를 크게 증가시키고 있음을 알 수 있다. 또한 두께가 커짐에 따라 표면의 온도분포는 coating이 되어있지 않은, layer의 property로 이루어진, semi-infinite body의 표면온도분포에 수렴해가고 있다. 또 한가지 주목할 것은 sliding effect에 의해 온도분포가 outlet쪽으로 비틀어지는 현상이다.

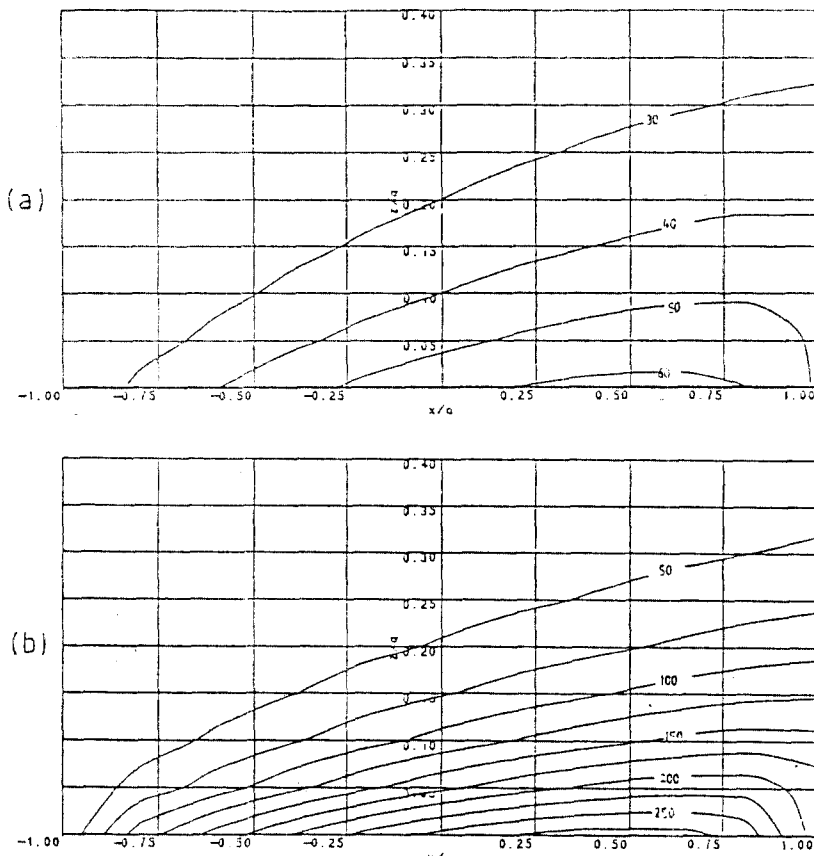


Fig.9 Temperature contour of less conductive layer than the substrate for the variation of applied load ( $P$ ) ( $K_f/K_s = 14$ ,  $D_f/D_s = 1/4$ , (a) :  $P = 25$  N, (b) :  $P = 200$  N,  $V = 10$  m/sec,  $t/a = 0.4$ )

Fig.8은 표면온도가 최대로 상승된 부분에서 표면과 수직한 방향으로의 온도 상승치 분포이다. 열전도도가 작은 layer의 존재에 의해 layer내의 온도가 크게 증가되어 있음을 볼 수 있으며 온도분포 유형도 역시 layer의 두께가 증가함에 따라 layer의 property로 이루어진 semi-inf. solid의 온도분포에 수렴해가고 있음이 보인다.

Fig.9 ~ Fig.11은 각각 하중, 속도, 마찰계수의 변화에 따른 subsurface(  $z = 0.4a$  까지 )의 temperature contour이다. 상기한 factor들의 증가는 heat input의 증가를 가져오므로 따라서 표면온도의

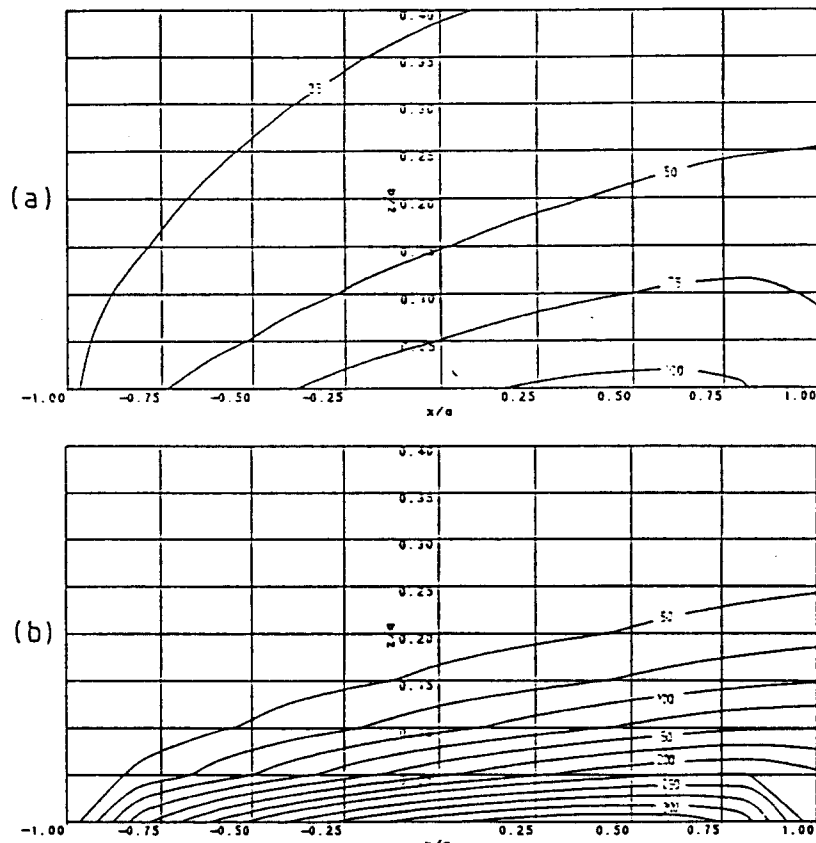


Fig. 10 Temperature contour of less conductive layer than the substrate for the variation of sliding speed. ( $\gamma/a=0.2$ ,  $K_f/K_s=1/4$ ,  $D_f/D_s=1/4$ ,  $P=100$  N. (a) :  $V = 5$  m/sec, (b) :  $V = 30$  m/sec)

증가는 필연적이나 그림에서 보는바와 같이 아주 조밀하게 등온선들이 배열되는 것을 알 수 있다. 특히 heat source의 moving speed가 증가할 경우 layered solid로의 열유입이 더욱 증가하므로 (즉, heat partition 계수가 높아지므로) temperature gradient는 더 급하게 됨을 알 수 있다.

layer의 thermal property가 나쁜 경우에 대해 조사한 상기 결과와 비교하기 위해 행해진 열전도도가 큰 layer의 경우의 분석결과중 표면의 온도 상승치 분포는 Fig.13 과 같다. 이 경우 역시 layer의 존재가 표면 및 subsurface에 미치는 영향은 지대함을 알 수 있으며 layer의 존재에 의해 subsurface의 temperature contour의 대표적인 예로 하중변화의

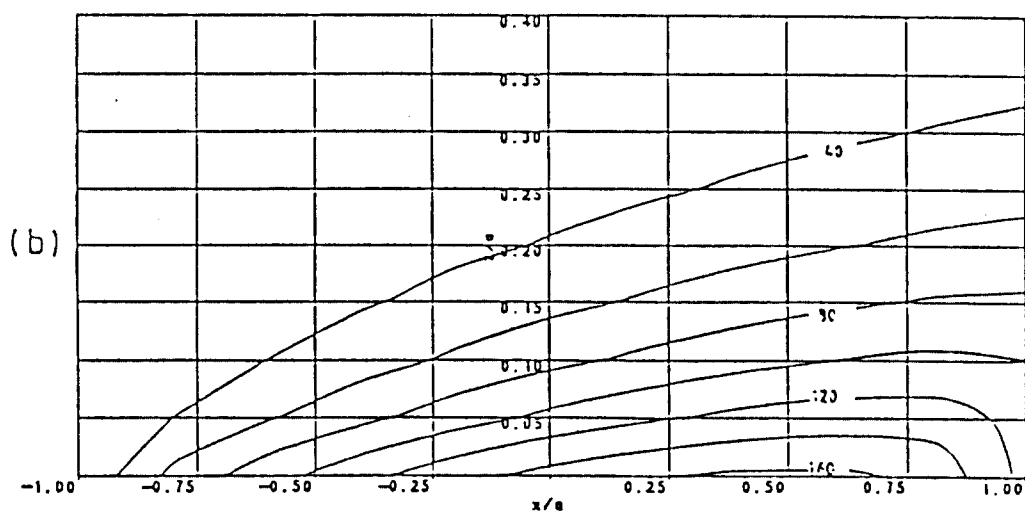
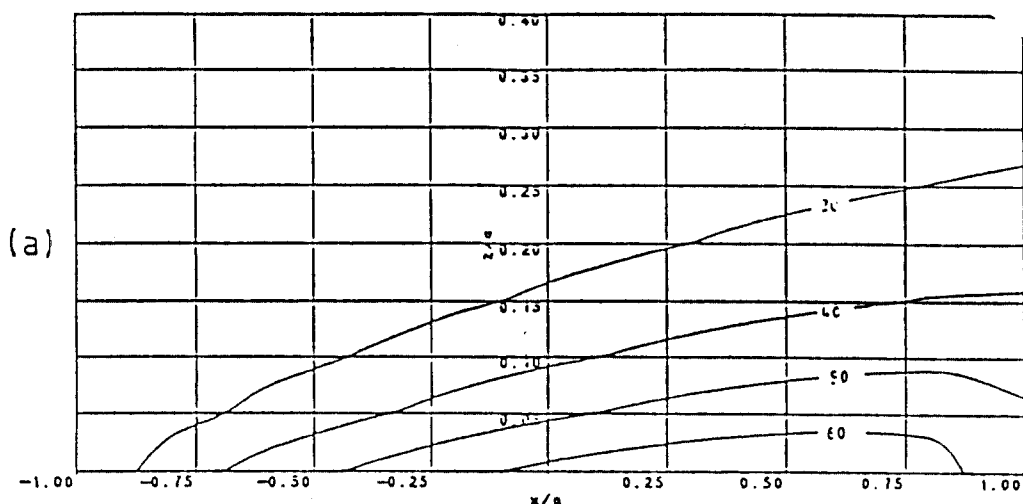


Fig.11 Temperature contour of less conductive layer than the substrate for the variation of coefficient of friction. ( $t/a = 0.4$ ,  $K_f/K_s = D_f/D_s = 1/4$ , a:  $f=0.1$ , b:  $f=0.3$ ,  $P = 100$  N,  $V = 10$  m/sec.)

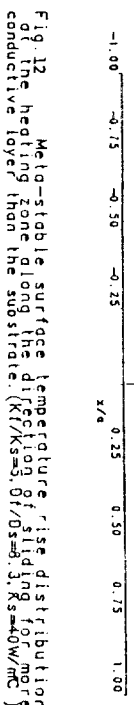


Fig. 12 Metastable surface temperature rise distribution along the direction of sliding for more conductive layer than the substrate. ( $K_f/K_s=3, D_f/D_{ss}=3, K_s=40 \text{ W/mC}$ )

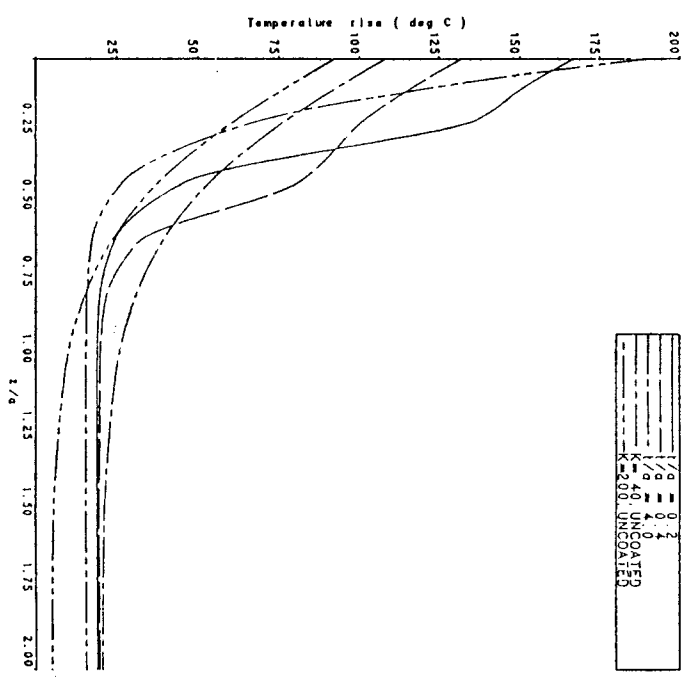


Fig. 13 Temperature distribution perpendicular to contact surface at position where maximum temperature is achieved for more conductive layer. ( $K_f/K_s=5, D_f/D_{ss}=3, K_s=40 \text{ W/mC}$ )

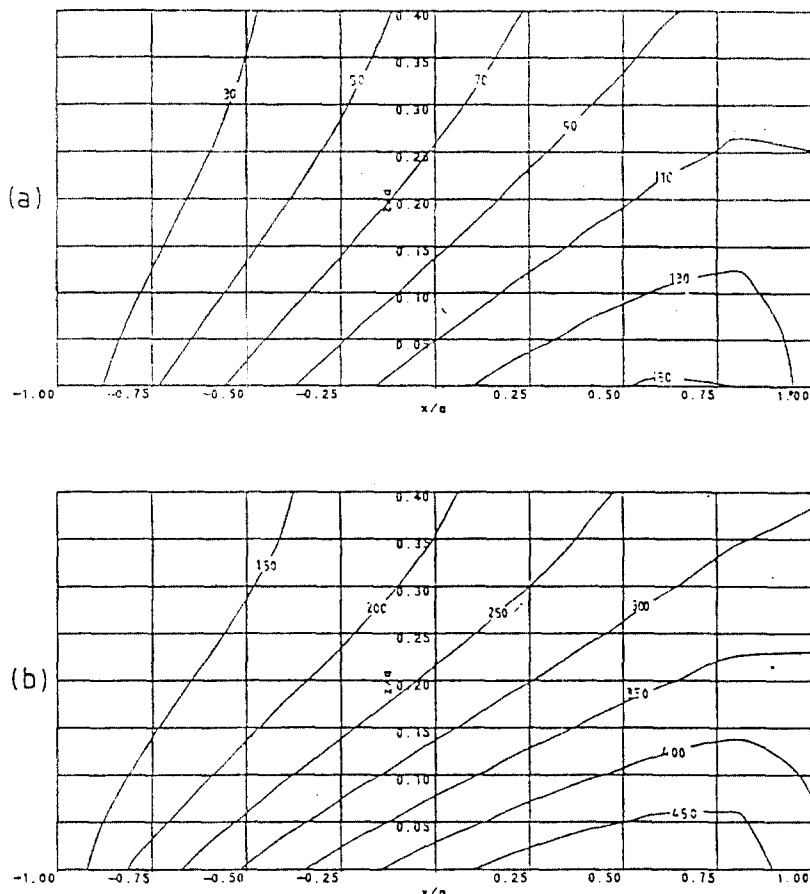


Fig. 14 Temperature contour of more conductive layer than the substrate for the variation of applied load ( $P$ ). ( $K_f/K_s = 5$ )  
 $D_f/D_s = 8.3$ , (a) :  $P = 100$  N, (b) :  $P = 400$  N,  $V = 30$  m/sec,  $t/a = 0.4$

영향을 알아본 결과가 Fig.14 이다. 이 경우 역시 subsurface의 온도 역시 크게 상승해 있음이 보이며 등온선들은 Fig.9 - Fig.11 의 경우에 비해 완만하게 분포되고 있다.

#### 4. 결 론

- 1) Sliding contact시의 온도상승은 주로 첫번째 접촉시에 결정된다.
- 2) 아주 얇은 layer가 존재하더라도 그것이 표면 및 subsurface의 온도 상승에 미치는 영향은 매우 크다.
- 3) layer의 존재는, 그 두께에 관계없이, 표면 및 subsurface의 열적거동

을 substrate의 유형에서 layer의 유형으로 전이시킨다.

- 4) 하중, 속도 및 마찰계수등의 증가는 heat input을 증가시켜 접촉부위의 온도증가를 가져오며, thermal property가 나쁜 layer의 경우 온도상승은 surface layer에 국한되나 thermal property가 좋은 경우 비교적 내부깊이 열이 침투하므로 이에따른 온도상승이 예측된다.

## 5. 참고 문헌

- 1) BLOK, H., 'Theoretical study of temperature rise at surfaces of actual contact under oiliness conditions', Proc. Inst. of Mechanical Engineers General Discussion of Lubrication, Vol.2, I.Mech.E., London (1937) 222-235.
- 2) JAEGER, J.C., 'Moving sources of heat and the temperature at sliding contacts', Proc.R.Soc.N.S.W., 76 (1942) 203-224.
- 3) ARCHARD, J.F., 'The temperature of rubbing surfaces', Wear, 2 (1958-1959) 438-455.
- 4) LING, F.F. and LAI, W.M., 'Surface mechanics of layered media', Solid Contact and Lubrication, ASME AMD, Vol.39(1980) 27-50.